

УДК 548.73

**КРИСТАЛЛИЧЕСКАЯ СТРУКТУРА  $[Pt(En)_2](ReO_4)_2$  — ПРЕДШЕСТВЕННИКА  
ТВЕРДОГО РАСТВОРА  $Pt_{0,33}Re_{0,67}$**

**С.П. Храненко<sup>1</sup>, Н.В. Куратьева<sup>1,2</sup>, С.А. Громилов<sup>1,2</sup>**

<sup>1</sup>Институт неорганической химии им. А.В. Николаева СО РАН, Новосибирск, Россия

E-mail: grom@niic.nsc.ru

<sup>2</sup>Новосибирский национальный исследовательский государственный университет, Россия

Статья поступила 12 марта 2014 г.

Изучена кристаллическая структура  $[Pt(En)_2](ReO_4)_2$  (En — этилендиамин). Проведен кристаллохимический анализ и определены основные факторы, влияющие на упаковку фрагментов структуры. Показано, что термическое разложение в атмосфере Не при 880 °C приводит к образованию твердого раствора  $Pt_{0,33}Re_{0,67}$  с параметрами гексагональной плотноупакованной решетки:  $a = 2,765$ ,  $c = 4,422$  Å и размерами областей когерентного рассеяния 42 нм.

**Ключевые слова:** платина, рений, этилендиамин, кристаллохимия, рентгеноструктурный анализ, рентгенофазовый анализ, твердый раствор.

**ВВЕДЕНИЕ**

В работах [1, 2] было описано строение комплексных солей  $[Cu(En)_2](ReO_4)_2$  и  $[Pd(En)_2] \times (ReO_4)_2$  (En — этилендиамин). Кроме чисто кристаллохимического интереса они важны как предшественники для получения биметаллических сплавов. Цель настоящей работы — исследование строения и термических свойств комплексной соли  $[Pt(En)_2](ReO_4)_2$  (далее КС), предшественника для получения сплава  $Pt_{0,33}Re_{0,67}$ . Наличие в составе КС органического лиганда — восстановителя позволяет рассчитывать на получение сплава при термическом разложении КС в инертной атмосфере Не. Ранее [3] сплав  $Pt_{0,33}Re_{0,67}$  был получен при нагревании  $[Pt(NH_3)_4](ReO_4)_2$  в атмосфере водорода до 900 °C. Представлялось интересным сравнить фазовый состав и параметры элементарных ячеек металлических продуктов.

**ЭКСПЕРИМЕНТАЛЬНАЯ ЧАСТЬ**

Для синтеза  $[Pt(En)_2](ReO_4)_2$  использовали комплекс  $[PtEn(NO_2)_2]$ , синтезированный по стандартной методике [4], этилендиамин (гидрат) Ч,  $NaReO_4$  ЧДА, ацетон ОсЧ. На первом этапе была получена соль  $[PtEn_2](NO_2)_2$ . Для этого к  $[PtEn(NO_2)_2]$  прибавляли этилендиамин (гидрат) в небольшом избытке против теоретического и нагревали на кипящей бане до образования прозрачного раствора. Раствор упаривали до минимального объема (~3—4 мл), охлаждали до комнатной температуры и разбавляли ацетоном. Выделенную белую твердую фазу, соответствующую составу  $[PtEn_2](NO_2)_2$ , отсасывали на пористом фильтре, промывали ацетоном и высушивали на воздухе. Выход 95 %. На втором этапе полученный  $[PdEn_2](NO_2)_2$  (0,25 ммоль, 0,102 г) растворяли в 3 мл  $H_2O$  и смешивали с раствором  $NaReO_4$  (0,5 ммоль, 0,137 г) в 4 мл  $H_2O$ . При смешивании растворов образуется белый кристаллический осадок. Осадок отделяли на пористом фильтре, промывали небольшим объемом ледяной воды, затем ацетоном и высу-

Кристаллоструктурные характеристики  $[M(\text{En})_2](\text{ReO}_4)_2$  ( $M = \text{Cu}, \text{Pd}, \text{Pt}$ )

Комплексная соль	$[\text{Cu}(\text{En})_2](\text{ReO}_4)_2$	$[\text{Pd}(\text{En})_2](\text{ReO}_4)_2$	$[\text{Pt}(\text{En})_2](\text{ReO}_4)_2$
$a, \text{\AA}$	6,6229(1)	7,1501(1)	7,4820(15)
$b, \text{\AA}$	14,2968(3)	13,2887(2)	8,8799(19)
$c, \text{\AA}$	7,4859(2)	7,5264(1)	10,747(2)
$\beta, \text{град.}$	102,415(1)	101,719(1)	95,612(6)
Пр. гр.	$P2_1/c$	$P2_1/m$	$P2_1/c$
$Z$	2	2	2
$V, \text{\AA}^3$	692,24	700,22	710,60
$V/Z, \text{\AA}^3$	346,12	350,11	355,30
$d_{\text{выч}}, \text{г/см}^3$	3,282	3,448	3,812
$M-\text{N}, \text{\AA}$	2,012(2); 2,014(3)	2,036(2); 2,042(2)	2,035(2); 2,060(2)
$\angle \text{N}-M-\text{N}, \text{град.}$	85,07(10)	84,00(7)	83,6(4)
$M\ldots\text{O}, \text{\AA}$	2,50 ( $\times 2$ )	3,37 ( $\times 2$ ); 3,50 ( $\times 2$ )	3,94 ( $\times 2$ ); 3,96 ( $\times 2$ )
$\text{N}-\text{H}\ldots\text{O} (\text{H}\ldots\text{O}), \text{\AA}$	2,95 (2,13)	2,96 (2,25)	3,09 (2,32)
$\text{C}-\text{H}\ldots\text{O} (\text{H}\ldots\text{O}), \text{\AA}$	3,22 (2,76)	3,19 (2,65)	3,07 (2,68)
$\text{C}-\text{N}, \text{\AA}$	1,479(4); 1,485(4)	1,481(3); 1,483(3)	1,468(17); 1,481(15)
$\text{C}-\text{C}, \text{\AA}$	1,514(5)	1,506(3)	1,510(18)
$\Delta C, \text{\AA}^*$	+0,41 / -0,31	+0,45 / -0,27	+0,41 / -0,30
$\text{Re}\ldots\text{Re}, \text{\AA}$	4,448	3,578	4,475; 4,535
$a_t, b_t, c_t, \text{\AA}$	8,07, 8,07, 6,62	7,15, 6,64, 7,53	7,48, 6,97, 6,97
$\alpha_t, \beta_t, \gamma_t, \text{град.}$	95,7, 95,7, 124,7	90, 101,7, 90	100,9, 85,7, 94,3
CCDC №	781079 [1]	833078 [2]	991058

\* Отклонение атомов углерода от плоскости  $\text{N}-M-\text{N}$ .

шивали на воздухе до постоянного веса. Выход продукта 50 %. Дополнительную порцию  $[\text{Pt}(\text{En})_2](\text{ReO}_4)_2$  можно выделить при концентрировании маточного раствора.

Рентгеноструктурное исследование монокристалла  $0,12\times0,06\times0,04$  мм проведено на автоматическом дифрактометре Bruker Nonius X8 APEX ( $\text{MoK}_{\alpha}$ -излучение, графитовый монохроматор, двухкоординатный CCD-детектор, область углов  $\theta$   $2,74-27,52^\circ$ , 4712 экспериментальных и 1535 независимых отражений) при  $T=293(2)$  К. Все расчеты выполнены по комплексу программ SHELX-97 [5]. Кристаллоструктурные характеристики даны в таблице. Брутто-формула  $\text{C}_4\text{H}_{16}\text{N}_4\text{O}_8\text{PtRe}_2$ . Структура решена прямым методом и уточнена в анизотропном (изотропном — для атомов водорода) приближении. Атомы водорода локализованы геометрически. При окончательном полноматричном уточнении 83 структурных параметров значения факторов расходности составили:  $R_1=0,0562$ ,  $wR_2=0,1694$ , для 1418 отражений с  $I\geq 2\sigma(I)$   $R_1=0,0538$ ,  $wR_2=0,1667$ ,  $S$ -фактор по  $F^2=1,175$ . Координаты и тепловые параметры атомов депонированы в Кембриджский банк структурных данных CCDC [6] под номером 991058 и могут быть получены по адресу [www.ccdc.cam.ac.uk/data\\_request/cif](http://www.ccdc.cam.ac.uk/data_request/cif).

Как показало термогравиметрическое исследование (рис. 1), в атмосфере гелия заметная потеря веса начинается с  $300^\circ\text{C}$ , а при достижении  $880^\circ\text{C}$  вес продукта составляет 70,2 % от исходного, что хорошо соответствует сумме металлов в исходной КС 69,6 %.

Рентгенографическое исследование поликристаллов  $[\text{Pt}(\text{En})_2](\text{ReO}_4)_2$  и продукта термического разложения проведено на дифрактометре ARL X'TRA ( $\text{CuK}_{\alpha}$ -излучение, полупроводниковый детектор, схема Брэгга—Брентано, комнатная температура, внешние эталоны  $\text{Si}$  и  $\text{LaB}_6$ ). Дифрактограмма КС полностью проиндцирована по данным исследования монокристалла, что

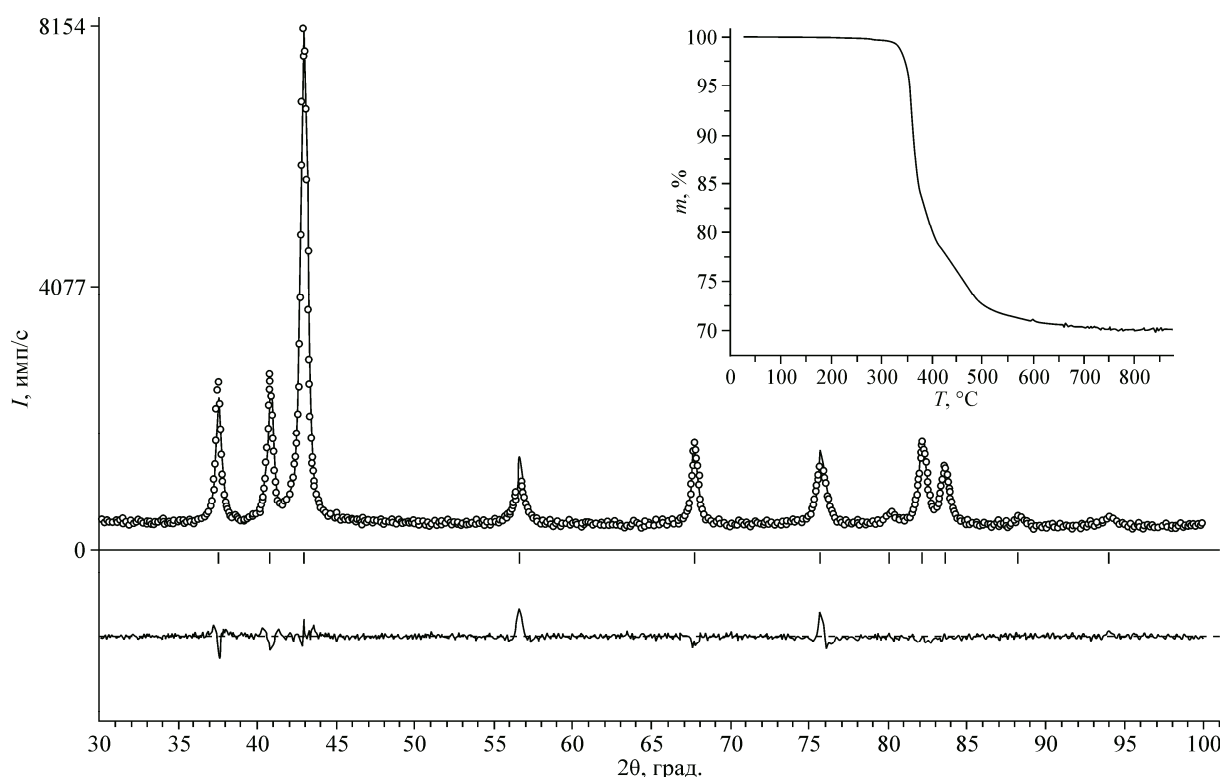


Рис. 1. Дифрактограмма продукта термического разложения  $[Pt(En)_2](ReO_4)_2$ .

Сплошная линия соответствует теоретической дифрактограмме. Внизу показана разностная кривая, а на вставке — кривая потери веса при нагревании в атмосфере гелия

подтверждает однофазность продукта. Дифрактограмма продукта термического разложения (см. рис. 1) проиндицирована по аналогии с дифрактограммой рения. Для определения параметров элементарной ячейки (ПЭЯ) и оценки размеров областей когерентного рассеяния использовано полнопрофильное уточнение по программе PCW [ 7 ].

#### ОБСУЖДЕНИЕ РЕЗУЛЬТАТОВ И ВЫВОДЫ

Кристаллическая структура  $[Pt(En)_2](ReO_4)_2$  построена из изолированных центросимметричных комплексных катионов  $[Pt(En)_2]^{2+}$  (строение с эллипсоидами тепловых колебаний показано на рис. 2) и перренат-анионов (ПА). Основные геометрические характеристики комплексного катиона даны в таблице, можно отметить, что в представленном ряду изоформульных соединений расстояния  $M—N$  увеличиваются, а валентный угол  $\angle N—M—N$  уменьшается. В ПА расстояния Re—O лежат в интервале 1,693(12)—1,747(15) Å, а валентные углы  $\angle O—Re—O = 106,3(5)—112,3(6)$ , т.е. отклоняются от значения для правильного тетраэдра 109,5° не более чем на 3°.

В комплексных катионах этилендиаминовые металлоциклы имеют *goosi*-конформацию — отклонения атомов углерода от плоскости координационного квадрата даны в таблице, для представленного ряда они практически одинаковые. Ближайшие контакты атома платины с атомами кислорода, принадлежа-

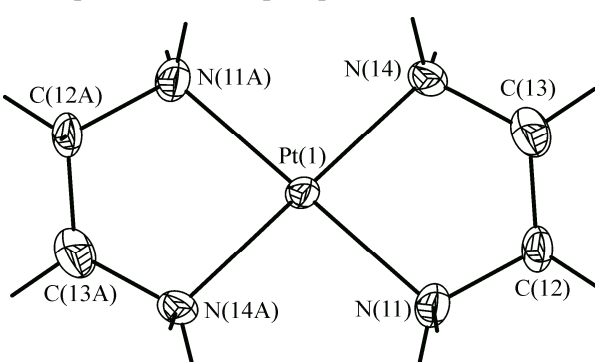


Рис. 2. Строение комплексного катиона  $[Pt(En)_2]^{2+}$

щими ПА, находятся на уровне 3,95 Å. Эта характеристика заметно выше, чем в структуре  $[\text{Pd}(\text{En})_2](\text{ReO}_4)_2$  и значительно превосходит показатель 2,50 Å в структуре  $[\text{Cu}(\text{En})_2](\text{ReO}_4)_2$ . В работе [2] мы отмечали, что именно стремление атомов  $\text{Cu}^{2+}$  к дополнительной координации и сближение катионных и анионных фрагментов определяют псевдогексагональную упаковку структуры. Другим фактором, влияющим на упаковку, являются водородные связи, которые из-за своей направленности стремятся "разрыхлить" структуру. Как видно из таблицы, кратчайшие контакты N—H...O и C—H...O в структурах примерно одинаковые.

В работах [1, 2] при описании мотива построения кристаллических структур комплексных солей  $[\text{Cu}(\text{En})_2](\text{ReO}_4)_2$  и  $[\text{Pd}(\text{En})_2](\text{ReO}_4)_2$  нами был использован несколько модифицированный метод трансляционных подрешеток [7]. Для этого проводили вычисление теоретической дифрактограммы только по центральным атомам комплексных катионов, что позволило изучить их взаимное расположение. В случае M=Cu это позволило выявить направление псевдогексагональности. Метрики выделенных подрешеток даны в таблице. Используя аналогичный подход для анализа структуры  $[\text{Pt}(\text{En})_2](\text{ReO}_4)_2$ , получаем, что подрешетка образована пересечением семейств плоскостей  $\{1\ 0\ 0\}$ ,  $\{0\ 1\ 1\}$ ,  $\{0\ 1\ -1\}$ . Она построена на векторах:  $\mathbf{a}_t = \mathbf{a}$ ,  $\mathbf{b}_t = \mathbf{b}/2 + \mathbf{c}/2$ ,  $\mathbf{c}_t = \mathbf{b}/2 - \mathbf{c}/2$ . Метрики выделенной подрешетки даны в таблице. Все вычисления проведены с помощью программы [8]. Даже с большими допущениями мотив расположения катионов нельзя назвать псевдогексагональным, как это было в случае  $[\text{Cu}(\text{En})_2](\text{ReO}_4)_2$ . Еще раз поясним, что к этому приводило дополнительное координирование центрального атома меди атомами кислорода, принадлежащими двум анионам, и образование единого фрагмента, соответствующего химической формуле. С учетом того, что в структуре  $[\text{Pt}(\text{En})_2](\text{ReO}_4)_2$  дополнительная координация центрального атома комплексного катиона отсутствует, можно рассмотреть взаимную упаковку и катионов, и анионов. Для этого необходимо использовать истинную дифрактограмму и ориентироваться на тройку отражений с индексами, образующими матрицу с  $\Delta = 6$ . Такому условию удовлетворяют три семейства плоскостей  $\{0\ 2\ 0\}$ ,  $\{1\ 1\ 1\}$ ,  $\{1\ 0\ -2\}$ . Их пересечение приводит к подрешетке, построенной на векторах:  $\mathbf{a}_t = -\mathbf{a}/3 + \mathbf{b}/2 + \mathbf{c}/6$ ,  $\mathbf{b}_t = 2\mathbf{a}/3 + \mathbf{c}/3$ ,  $\mathbf{c}_t = \mathbf{a}/3 - \mathbf{c}/3$ . Узлам такой подрешетки должны следовать атомы рения и платины. Значения параметров подъячейки:  $a_t = 5,32$ ,  $b_t = 5,85$ ,  $c_t = 4,56$  Å,  $\alpha_t = 88,97^\circ$ ,  $\beta_t = 90,57^\circ$ ,  $\gamma_t = 123,37^\circ$  показывают, что структуру можно рассматривать как псевдогексагональную однослоиную ( $a_t \approx b_t$ ,  $\alpha_t \approx \beta_t \approx 90^\circ$ ,  $\gamma_t \approx 120^\circ$ ). Действительно, если обратиться к структуре, то в направлении [1 0 1] можно выделить однослоиную псевдогексагональную упаковку комплексных катионов (рис. 3), в пустотах которой располагаются ПА.

Рентгенофазовый анализ продукта термического разложения показал образование однозарядного продукта — твердого раствора  $\text{Pt}_{0,33}\text{Re}_{0,67}$  на основе гексагональной плотноупакованной решетки рения с размерами областей когерентного рассеяния 42 нм. Параметры элементарной ячейки  $a = 2,765(2)$ ,  $c = 4,422(3)$  Å хорошо коррелируют с параметрами  $a = 2,764(2)$ ,

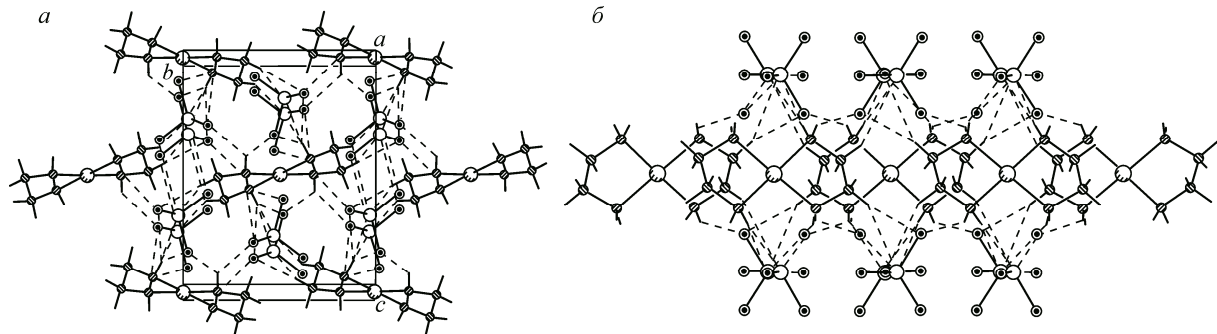


Рис. 3. Фрагменты кристаллической структуры  $[\text{Pt}(\text{En})_2](\text{ReO}_4)_2$ . В направлении [1 0 0] комплексные катионы образуют псевдогексагональные слои (a), перренат-анионы располагаются в пустотах этой катионной подрешетки (б).

Штриховыми линиями показаны кратчайшие межионные контакты

$c = 4,415(3)$  Å, полученными в [3] для продукта термического разложения  $[\text{Pt}(\text{NH}_3)_4](\text{ReO}_4)_2$  в атмосфере водорода (900 °C, выдерживание в течение 7 ч).

Таким образом, в настоящей работе определена кристаллическая структура  $[\text{Pt}(\text{En})_2](\text{ReO}_4)_2$  (En — этилендиамин). Показано, что путем термолиза этого соединения в атмосфере гелия может быть получен сплав  $\text{Pt}_{0,33}\text{Re}_{0,67}$ .

#### СПИСОК ЛИТЕРАТУРЫ

1. Шушарина Е.А., Храненко С.П., Громилов С.А. // Журн. структур. химии. – 2011. – **52**, № 1. – С. 206 – 208.
2. Храненко С.П., Быкова Е.А., Алексеев А.В., Громилов С.А. // Журн. структур. химии. – 2012. – **53**, № 3. – С. 520 – 526.
3. Корольков И.В., Задесенец А.В., Громилов С.А., Юсенко К.В., Байдина И.А., Коренев С.В. // Журн. структур. химии. – 2006. – **47**, № 3. – С. 503 – 511.
4. Синтез комплексных соединений металлов платиновой группы / под. ред. И.И. Черняева. – М.: Наука, 1964.
5. Sheldrick G.M. // Acta Crystallogr. – 2008. – **A64**, N 1. – P. 112 – 122.
6. Allen F.H. // Acta Crystallogr. – 2002. – **B58**, N 3-1. – P. 380 – 388.
7. Kraus W., Nolze G. // J. Appl. Crystallogr. – 1996. – **29**. – P. 301 – 303.
8. Борисов С.В. // Журн. структур. химии. – 1986. – **27**, № 3. – С. 164 – 167.
9. Громилов С.А., Быкова Е.А., Борисов С.В. // Кристаллография. – 2011. – **56**, № 6. – С. 1013 – 1018.